

## 力学所机构知识库2013年二季度运行情况


力学所机构知识库IMECH-IR ( <http://dspace.imech.ac.cn> ) 是力学所保存、利用和传播自身产出的知识资产的重要工具与机制。

1 IMECH-IR目前注册用户860个，数据11805条，数据最早回溯到建所伊始。数据内容有：公开发表的论文、学位论文、专著、专利、成果、科普文章、演示报告、视频以及图像集。

### 2 IMECH-IR排名

"The Ranking Web of World repositories"网站提供的在该网站登记的全球机构知识库排名统计数据表明,力学所机构知识库在登记的1654家机构知识库总排名第506,学术排名(Scholar)第365位。中国在该网站登记的有19家机构,力学所排名第3。

#### China

Ranking	World Ranking	Institute	Country	Size	Visibility	Rich Files	scholar
3	506	<a href="#">Institutional Repository Institute of Mechanics CAS</a>		185	938	390	365

### 3 2013年IMECH-IR二季度的运行情况

2013二季度IMECH-IR共新增171条数据,主要是期刊论文、会议论文、科普文章和专利。2013年二季度机构知识库累计访问量59万次,相对一季度43万次的浏览量提高了37%,累计下载量8.5万次,比上季度增加了35%。从访问来源看,来自国外的访问量占15.5%,下载量占21.1%,相对上季度都有所下降。国外访问主要来自美国、英国、韩国等国家和地区。

表1 访问量前10的国家和地区

累计访问量：591296 累计下载量：85329		
国家和地区	访问	下载
China	499485	67302
United States	53900	10043
未知国家和地区	21207	764
United Kingdom	3374	1353
Korea, Republic of	2716	219
Russian Federation	1580	619
Germany	1499	326
France	755	345
Ukraine	660	165

二季度浏览访问量 Top1 的论文是“级联激波触发的太阳耀斑理论”，共计访问次数 442 次，一季度浏览量冠军论文“Improved Analysis Method for Wave-Induced Pipeline Stability on Sandy Seabed”，这季度浏览量是 234 次。下载量最多的文章是“级联激波触发的太阳耀斑理论”。访问次数超过 150 的有 45 篇，下载量在 50 次以上的文章 33 篇。

表 2 访问量前 10 名的论文列表

题名	访问	下载
级联激波触发的太阳耀斑理论	442	312
中国古建筑结构力学研究进展	278	30
“风云三号”卫星成功发射	251	152
坡度和径流量对细沟侵蚀的影响	236	45
带压作业修井装置的研制	235	38
Improved Analysis Method for Wave-Induced Pipeline Stability on Sandy Seabed	234	18
嵌岩桩竖向承载力规范计算的商榷	232	14
Study of working fluid selection of organic Rankine cycle (ORC) for engine waste heat recovery	225	95
甲型 H1N1/2009 流感病毒的种属跨越机制	222	44
表面与界面物理力学	216	1

表 3 下载前 10 的文章列表

题名	下载	访问
级联激波触发的太阳耀斑理论	312	442
“风云三号”卫星成功发射	152	251
Study of working fluid selection of organic Rankine cycle (ORC) for engine waste heat recovery	95	225
Contimuum Mesomechanical Finite Element Modeling in Materials Development: A State-of-the-Art Review	94	207
聚碳酸酯微孔泡沫塑料的拉伸力学性能及失效机理分析	88	169
Vortex Shedding and Vortex-Induced Vibration of Piggyback Pipelines in Steady Currents	79	128
Aerodynamic Performance of a Corrugated Dragonfly Airfoil Compared with Smooth Airfoils at Low Reynolds Numbers	75	177
Formation of Single and Multiple Deformation Twins in Nanocrystalline fcc Metals	74	160
Grain misorientation and grain-boundary rotation dependent mechanical properties in polycrystalline graphene	74	178
Experimental Study on Vortex-Induced Vibrations of Submarine Pipeline Near Seabed Boundary in Ocean Currents	71	130